

## 電氣泳動法을 利用한 *Trichoderna* spp 分類可能性에 關한 研究

朴 元 穆\* · 朴 龍 河\* · 李 恩 影\*\*

### Application of Electrophoretic Methods for differentiation of *Trichoderma* species

Park, W.M.,\* Y.H. Park,\* and E.Y. Lee\*\*

#### ABSTRACT

These researches were carried out to investigate the morphology of different species of *Trichoderma* and the possibilities of differentiation of the species of *Trichoderma* by electrophoretic methods.

Variations between the isolates of a species of *Trichoderma* indicate the genetical differences, also isozyme and protein patterns will be useful to investigate genetical variations between the isolates. It might be possible that distinct bands of isozymes of esterase, phosphotase, catalase, catalase differentiate species of *Trichoderma*.

#### 緒 言

*Trichoderma* spp.는 土壤病原菌에 對해 Antagonistic effect 가 있는 土壤微生物로 植物의 生物學的 防除材料<sup>1,7)</sup> 및 버섯栽培, 저장물에 被害를 입히는 有害菌으로 研究가 되어 왔다.<sup>1,8)</sup>

Rifai<sup>16)</sup>에 의하면 本菌의 分類는 Persoon, 이 처음 論議 한 바 있으며 1871年 Harz, 20世紀에 Bisby, Gilman, Rifai 等에 의해 이루어져 왔다. 이들의 分類根據는 菌의 形態學의 인 것으로 Rifai<sup>16)</sup>는 phialospore 表面의 거칠고 매끄러운 狀態, 色, 크기, 形態, phialide의 形態, conidiophore의 分支形態, 두께, 굵기, sterile hyphae의 有無, 培養器에 나타나는 colony의 形態 및 色, 배출대사물의 色素 等이었다. 이러한 形態의 인 分

類는 觀察者の 主觀, 菌의 培養條件 및 培養期間에 따라 phialospore의 形成程度와 Colony의 形成狀態가 달리 나타나므로 잘못 分類되어 질 수 있다.

電氣泳動法의 protein, isozyme patterns를 利用한 生物의 分類는 여러 方面에서 좋은 結果를 보여주었다. 朴<sup>14)</sup>, 孫<sup>17)</sup>, Kahler<sup>9)</sup> 等은 esterase의 isozyme pattern로 植物의 分類를 하였고, Franke<sup>5)</sup> 等은 Physarale 目의 分類, Clar<sup>3)</sup>은 Phytophthora의 分類, Stou<sup>等19)</sup>에 의한 Thamnidium sp.의 分類, Nealson<sup>等13)</sup>에 의한 Aspergillus sp.의 分類, Meyer<sup>等11)</sup>에 의한 Fusarium sp.의 分類, Baptist<sup>等2)</sup>에 의한 bacteria의 類等, 高等生物에서 微生物까지 分類가 可能하다고 報告 된 바 있다. 이에 따라 本 研究는 *Trichoderma* 分類의 亂點을 補完하기 위해 電氣泳動法의 導入이 可能한 가를 究明하기 위해 實施하였다.

\*高麗大學校 農科大學

\*\*林業試驗場

## 材料 및 方法

使用菌株：本實驗에 使用한 菌株는 나무표피, 土壤, 뿐만 아니라Trichoderma屬에 속하는 6種, 19菌株를 使用하였다. 채취된 菌株는 peptone dextrose agar에서 3~4日間 培養後, pour plate method를 利用하여 single colony를 分離培養하였다. 形態의in 分類는 本菌들을 malt extract agar에 3~4日間 培養後 Rifai의 分類 Key<sup>16)</sup>를 利用하여 Trichoderma의 種을 分類하였다.

電氣泳動 材料抽出：菌株를 Modified Czapek dox medium 50ml를 담은 100ml Erlenmeyer flask에 接種後, 25°C incubator에서 10日間 培養하였다. modified Czapek-dox medium은 NaNO<sub>3</sub> 1g, K<sub>2</sub>HPO<sub>4</sub> 1g, MgSO<sub>4</sub> · 7H<sub>2</sub>O 0.5g, KCl 0.5g, CaCl<sub>2</sub> 0.05g, ZnSO<sub>4</sub> 0.01g, CuSO<sub>4</sub> 0.001g, Glucose 10g, Yeast Extract 5g, H<sub>2</sub>O 1000ml이 있다. 培養後, 菌株를 büchner funnel(Filter paper; whatman No. 1)로 거른後, 0.1M Tris-HCl buffer(pH 7.5)로 菌絲를 씻어냈다. 菌絲 2g을 小量의 洗滌된 모래와 함께 5ml의 Tris-HCl buffer(pH 7.5)를 유발에 넣어 微細하게 마쇄後, 冷凍高速遠心分離機에서 12,000g로 30分間 4°C에서 遠心分離하여 上等液을 取하여 電氣泳動 材料로 事用하였다.

電氣泳動法：分離 gel은 2~25% polyacrylamide gradient gel<sup>14)</sup>과 7% homogenous polyacrylamide gel<sup>14)</sup>의 두가지 方法을 使用하였다. gradient gel에서는 esterase와 phosphotase의 isozyme patterns를 觀察하였고 7% homogenous gel에서는 protein patterns와 catalase isozyme patterns를 觀察하였다. gradient gel buffer는 0.35M Tris-HCl(pH 8.9)이었고 homogenous gel buffer는 0.1M Tris-HCl(pH 8.9)이었다. tray buffer는 두 方法: 其의 0.125M Tris-Glycine buffer(pH 8.4)을 중류수로 1:5로 稀釋 使用하였다. 試料는 tube當 100μl를 使用하였으며 電壓은 7% homogenous gel에서는 처음 100V로 1時間維持後, 200V로 높여 2時間 電氣泳動시켰으며 gradient gel에서는 처음 100V로 1시간維持後 200V로 높여 23時間 電氣泳動시켰다.

發色法：電氣泳動이 끝난後, gel을 끼내어 觀察하고자 하는 酶素의 種類에 따라 다음과 같이 發色시켰다.

1. protein: gel을 發色液(800ml H<sub>2</sub>O + 200ml Methanol + 70ml Acetic acid + 60g Trichloroaceticacid: 1% Coomassie brilliant blue R250=40:1)에 浸漬하여 1時일 경과後 脫色液(H<sub>2</sub>O : Methanol: Acetic acid=14: 1: 1)에 12時間 浸漬하였다.<sup>17)</sup>

2. Esterase: gel을 0.1M Tris-HCl(pH 7.2) buffer에 30分間 buffer를 2번 갈아주면서 浸漬하여 gel의 酸度를 調節한後, 發色液( $\alpha$ -naphthylacetate 50mg, Acetone 2cc, Fast blue RR salt 50mg, 0.1M Tris-HCl buffer(pH 7.2) 100ml)에 35°C에서 浸漬하여 band가 明確하여 질 때까지 發色하였다.<sup>17)</sup>

3. Phosphotase: gel을 0.1M Acetate buffer(pH 5.2)에 30分間 buffer를 2번 갈아주면서 浸漬한後, 發色液( $\alpha$ -naphthylphosphate 60mg, Fast garnet G.B.C. salt 50mg, MgCl<sub>2</sub>(10% 용액) 6ml, 0.1M Acetate buffer(pH 5.2) 100ml)에 37°C에서 30分間 어두운 곳에서 發色시켰다.

4. Catalase: gel을 蒸溜水에 15分間 浸漬한後, 0.03% H<sub>2</sub>O<sub>2</sub>에 1~2分間 再浸漬하고 發色液(2% FeCl<sub>3</sub>: 2% K<sub>3</sub>[Fe(CN)<sub>6</sub>]=1:1에 10分間 浸漬하여 發色하였다.

모든 gel은 發色이 끝난後, 5% Acetic acid에 浸漬하여 4°C에서 保存하였다.

## 結果 및 考察

形態的 分類：colony의 特徵은 Trichoderma spp.를 malt extract agar medium에 25°C에서 3~4日間 培養後 實溫에서 5日間 放置하여 觀察하였다.

T. polysporum의 colony는 白色을 띠우므로 다른 種과는 區別이 뚜렷하였다. T. viride는 colony가 배지에 윤문形態로 겹무늬를 形成하였다. T. pseudokoningii는 배지에 노란색의 pigments를 分泌하였으며 colony의 形態로 T. harzianum, T. koningii, T. hamatum의 區別은 어려웠으나 T. koningii의 孢子는 주로 Petri dish 바닥으로 흘러 形成하였다.

현미경적 特徵을 觀察하기 위하여 Trichoderma spp.를 malt extract agar에 2~3日間 培養後 400X 또는 1000X로 觀察하였다. 菌絲의 分枝形態에서 T. harzianum, T. koningii, T. polysporum, T. hamatum等은 規則的이었고 T. viride와 T. pseudokoningii는 不規則的이었다. 不規則的 分枝形態에서 T. viride는 main branch와 side branch가 比較的 예각을 이루고 있으며 T. pseudokoningii는 比較的 직각을 이루었다. T. viride는 孢子表面이 1000X에서 immersion oil을 使用하여 觀察하였을 때 거칠게 보이고 T. pseudokoningii의 孢子表面은 매끄럽게 보이므로 두 種間의 區別이 되었다. 規則的인 分枝形態에서 T. polysporum은 孢子가 투명하여 sterile hyphae를 形成하였고 T. hamatum은 conidiophore가 두껍고 짙으며 phialide가 密集되어 있어 分枝形態는 T. polysporum과 비슷

하나胞子가 青色이고 sterile hyphae를 形成하지 않으므로 区別이 되었다. *T. koningii* 와 *T. harzianum*의 分枝形態는 비슷하여 区別이 되지 않으나 胞子의 形態 및 크기로 区別이 되었다. *T. koningii*의 胞子는 黑色으로 타원형이며 胞子의 크기가  $3\text{-}4.8 \times 1.9\text{-}2.8\mu$ 로 원형인 *T. harzianum* 胞子크기인  $2.4\text{-}3.2(\sim 3.5) \times 2.2\text{-}2.8(\sim 3)\mu$ 에 비해 대단히 크므로 区別이 되었다. 이와같은 方法으로 수집된 菌은 6種으로 区別이 되었는데 *T. viride* 4菌株, *T. harzianum* 4菌株, *T. koningii* 2菌株, *T. polysporum* 3菌株, *T. pseudo-koningii* 4菌株, *T. hamatum* 1菌株이었다.

그러나 malt extract agar에서 5日이 지난 後 현미

경을 利用한 觀察은 conidiophore가 密集되어 있어 菌絲의 分枝形態로 種間의 区別이 不可能하였다. 特히, potato dextrose agar에서는 *Trichoderma* spp.의 colony 形態 및 色感이 달리 나타나는 경우가 많아 区別에 도움이 되지 않았다.

**protein 및 isozyme patterns**에 의한 分類: *Trichoderma*의 種間 isozyme patterns와 protein patterns의 比較는 band의 有·無에 따라 Table 1, 2, 3에 表記하였다.

1. Esterase isozyme patterns: Esterase patterns에 의한 分類는 Fig. 1에서와 같이 6種間 뚜렷한 区別이 있었다. *T. viride*의 特徵的 band는 7개로 1, 3-4, 5,

**Table 1.** Distribution of isozyme bands of esterase from different species of *Trichoderma* on 2~25% gradient gels

Isozyme	Band No.	<i>T. viride</i>	<i>T. harzia.</i>	<i>T. koning.</i>	<i>T. polysp.</i>	<i>T. pseudo.</i>	<i>T. hamat.</i>
esterase	1	+	-	-	-	-	-
	2	-	-	+	-	-	+
	2-1	-	-	-	-	+	+
	2-2	-	-	-	+	-	+
	3	-	-	-	+	-	+
	3-1	-	-	-	-	+	+
	3-2	-	-	+	-	+	-
	3-3	-	+	-	+	-	-
	3-4	+	+	-	+	-	-
	4	-	-	-	+	-	-
	4-1	-	-	-	+	-	-
	5	+	-	+	-	+	+
	5-1	-	-	+	-	-	+
	5-2	-	-	-	+	-	-
	5-3	-	-	+	-	-	+
	5-4	-	-	-	+	-	-
	5-5	+	-	+	-	-	-
	5-6	+	+	-	-	+	-
	5-7	-	-	-	+	-	-
	5-8	-	-	-	-	-	+
	6	-	-	-	+	-	+
	6-1	-	+	-	-	-	-
	6-2	-	-	+	-	-	-
	6-3	-	-	-	+	+	+
	7	-	-	+	-	-	+
	7-1	+	-	+	-	-	-
	7-2	+	-	+	-	-	+
	7-3	-	+	-	-	+	-

+: presence, -: absence

**Table 2.** Distribution of protein bands from different species of *Trichoderma* on 7% homogenous gels.

	Band No.	<i>T. viride</i>	<i>T. harzia.</i>	<i>T. koning.</i>	<i>T. polysp.</i>	<i>T. pseud.</i>	<i>T. hamat.</i>
protein	1	--	+	--	+	+	--
	1-1	--	+	--	--	+	+
	1-2	+	--	--	--	+	+
	1-3	--	+	--	--	--	--
	2	+	--	+	--	+	--
	2-1	+	--	+	--	--	--
	3	+	+	+	--	--	+
	3-1	-	--	--	+	--	--
	3-2	+	--	-	+	--	--
	4	-	+	--	--	--	--
	4-1	--	--	+	+	--	+
	4-2	--	--	+	--	--	--
	4-3	-	+	--	--	--	--
	5	--	--	--	+	+	--
	5-1	-	--	--	+	--	--
	6	+	-	+	-	+	--
	6-1	-	--	+	-	+	--
	7	--	+	--	--	--	--
	7-1	+	+	--	--	+	--
	8	--	-	-	-	-	--
	9	-	-	+	-	-	--

+: presence, -: absence

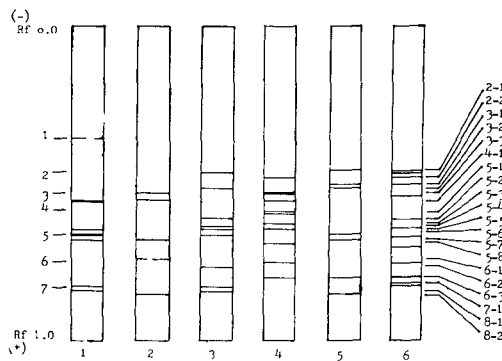
**Table 3.** Distribution of isozyme bands of phosphotase and catalase from different species of *Trichoderma* on 2~25% gradient gels and 7% homogenous gels.

Isozyme	Band No.	<i>T. viride</i>	<i>T. harzia.</i>	<i>T. koning.</i>	<i>T. polysp.</i>	<i>T. pseud.</i>	<i>T. hamat.</i>
phosphotase	1	+	--	--	-	-	+
	2	+	+	+	-	+	+
	2-1	--	-	-	+	-	-
catalase	1	+	-	-	-	-	+
	2	+	+	+	-	+	+
	2-1	-	-	-	+	-	-

+: presence, -: absence

-5, 5-6, 7-1, 7-2였으며 5~6 band는 個體에 따라시는 나타나지 않았다. *T. harzianum*의 特徵的 band는 5로 3-3, 3-4, 5-6, 6-1, 7-3이었다. 個體에 따라 Rf 0.5, 0.49, 0.52, 0.60, 0.63, 0.68, 0.69, 0.71, 0.73, 0.87, 0.90에 band가 나타나는 등 個體間 band 形態에 많은 差異가 있었다. *T. koningii*의 特徵的 band는 9개로

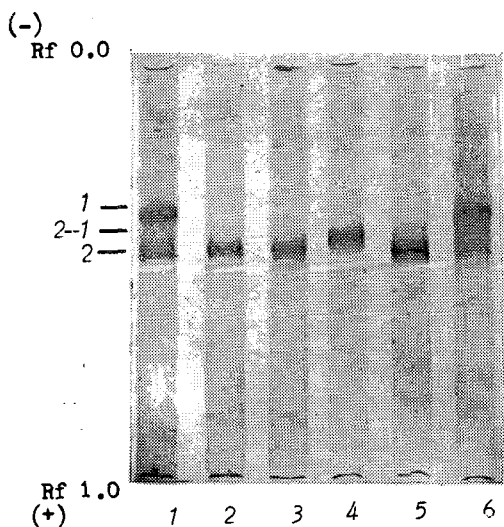
2, 3-2, 5, 5-1, 5-3, 5-5, 6-2, 7, 7-2<sup>o</sup>였고 7-2 band는 個體에 따라 나타나지 않았다. *T. polysporum*의 特徵的 band는 11개로 2-2, 3, 3-3, 3-4, 4-4-1, 5-2, 5-4, 5-7, 6, 6-3이었고 3, 4, 4-1, 5-2 band는 個體에 따라 나타나지 않기로 하였고 Rf 0.85에 band가 나타나기도 하였다. *T. pseudokoningii*의 特徵的 band는 7개로 2-1,



**Fig. 1.** Isozyme patterns of esterase of *Trichoderma* spp. on the 2~25% gradient gel.  
 1, *T. viride*. 2, *T. harzianum*  
 3, *T. koningii*. 4, *T. polysporum*  
 5, *T. pseudokoningii* 6, *T. hamatum*

3-1, 3-2, 5, 5-6, 6-3, 7-3이 있고 個體에 따라 Rf 0.51에 band 가 나타나기도 하였다. *T. hamatum*의 band는 13개로 2, 2-1, 2-2, 3, 3-1, 5, 5-1, 5-3, 5-8, 6, 6-3, 7, 7-1이었다.

Esterase patterns에 의한 分類는 Meyer,<sup>11)</sup> Franke<sup>5)</sup>, Nealson<sup>13)</sup>等에 의한結果와 同一하게 種間 뚜렷한 差異를 보여주므로 esterase patterns에 의한 *Trichoderma* 分類는 可能성이 높았다.

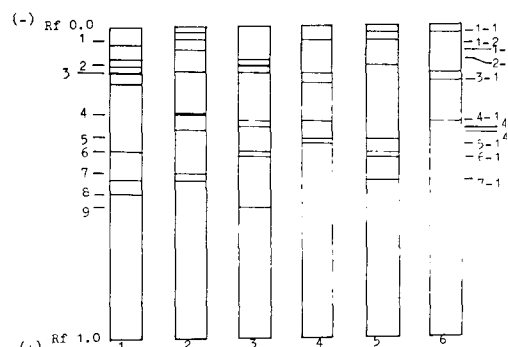


**Fig. 2.** Isozyme patterns of phosphotase of *Trichoderma* spp. on the 2~25% gradient gel.  
 1, *T. viride* 2, *T. harzianum*  
 3, *T. koningii* 4, *T. polysporum*  
 5, *T. pseudokoningii* 6, *T. hamatum*

2. phosphatase isozyme patterns: phosphatase patterns에 의한 種의 分類는 Fig. 2에서 보는 바와 같이 band 形成이 單調롭게 나타난다. *T. viride*와 *T. hamatum*은 1, 2에 band 가 있었고 *T. viride*의 個體에 따라 Rf 0.39, 0.44에 band 가 나타나기도 하였다. *T. polysporum*의 band는 2-1에 1개 있었다. *T. harzianum*, *T. koningii*, *T. psendokoningii* 등은 2에 1개 band 가 形成하였으므로 *Trichoderma* 種間의 区別은 phosphatase patterns만으로 不可能하였다. *T. harzianum*은 個體에 따라 Rf 0.46에 *T. polysporum*은 R 0.44에 band 가 나타나기도 하였다. phosphatase patterns에서 個體間 變異는 *T. harzianum*에서 2개, *T. polysporum*에서 1개, *T. viride*에서 1개 등이었다.

3. protein patterns: protein patterns에서 個體當 약 30개 이상의 band가 나타나는데 band의 形成位置는 種內 個體間 minor band로 差異가 있었으나 major band는 *T. harzianum*을 제외한 다른 種에서는 種間一致하였다. Fig. 3은 protein을 發色한 major band만의 zymogram이다. *T. viride*의 major band는 1개로 1-2, 2-1, 3, 3-1, 6, 6-1, 7-1, 8이었다. *T. harzianum*은 個體間 major band의 形成位置 差異가 많았으나 共通으로 4에 뚜렷하였다. *T. koningii*의 major band는 8개로 2, 2-1, 3, 4-1, 4-2, 6, 6-1, 9이었다. *T. polysporum*의 major band는 8개로 1, 3-1, 3-2, 4-1, 5, 5-1이었다. *T. psendokoningii*의 major band는 7개로 1, 1-1, 1-2, 2, 5, 6, 6-1, 7-1이었다. *T. hamatum*의 major band는 4개로 1-1, 1-2, 3, 4-1이었다.

protein patterns에 의한 分類는 Glynn,<sup>6)</sup> Kulik<sup>10)</sup>, Baptist<sup>2)</sup> 等의 結果와 同一하게 種間 뚜렷한 差異가 있다. Steward<sup>18)</sup>에 의하면 “protein patterns에 의한



**Fig. 3.** Protein patterns of *Trichoderma* spp. on the 7% polyacrylamide gel.  
 1, *T. viride* 2, *T. harzianum*  
 3, *T. koningii* 4, *T. polysporum*  
 5, *T. pseudokoningii* 6, *T. hamatum*

差異는 種間 metabolism의 差異에 의한 것"으로 protein polymorphism에 의한 種間 區別은 微生物 taxonomy에 電氣泳動의 利用 可能性을 示唆하고 있다.

4. Catalase isozyme patterns: catalase patterns은 Fig. 4에서와 같이 3개 band를 形成한다. *T. viride*는 1, 3의 2개 band로 다른 種과 區別이 뚜렷하고 *T. polysporum*은 1, 2, 3의 3개 band로 區別이 되었으나 *T. harzianum*, *T. koningii*, *T. pseudokoningii*, *T. hamatum*의 band는 1개의 同一位置로 種間 差異가 없었다.

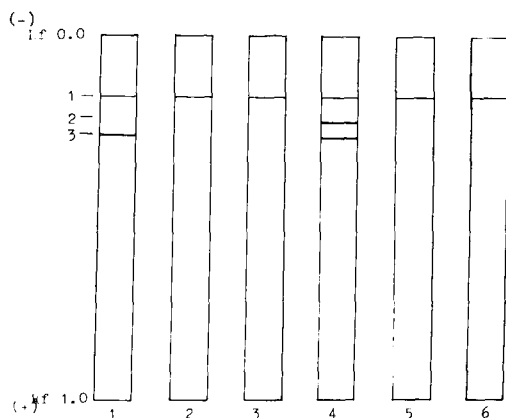


Fig. 4. Isozyme patterns of Catalase of *Trichoderma* spp. on the 7% polyacrylamide gel.  
1. *T. viride* 2. *T. harzianum*  
3. *T. koningii* 4. *T. polysporum*  
5. *T. pseudokoningii* 6. *T. hamatum*

Meyer 등<sup>11,12)</sup>에 의하면 *Fusarium oxysporum*, *F. cylindrosporum* 간에는 esterase, phosphotase patterns이 個體間 部分的 差異가 있었으나 種間 差異가 뚜렷하였고 *F. oxysporum*의 formae 간 分類는 個體間 差異가 formae 간 差異가 비슷하므로 formae 간 分類는 어려워 하였다. 이러한 種內 heterogeneity는 Nealson + Garber<sup>13)</sup>에 의한 *Aspergillus* 種間 taxonomy, Peerdely와 Turner<sup>15)</sup>에 의한 *Mortierella*의 種間 分類等이 报告된 바 있다. *Trichoderma*의 protein 및 isozyme patterns에서도 個體間 差異가 있었으며 *T. harzianum*의 種內 個體 差異는 다른 種內 差異보다 많았는데 이는 種內 heterogeneity가 크기 때문이라推定된다.

*Trichoderma*의 分類는 protein, esterase patterns에 種間 뚜렷한 差異를 보여주고 phosphotase와 catalase patterns에서는 種間 band 位置가 同一하거나 비슷하여 種間 分類는 어려웠다. 이와같이 *Trichoderma*

의 分類는 protein 및 特定酵素의 isozyme patterns를 選拔하여 使用하면 可能성이 더욱 크리라 思料되어 enzyme patterns에 따라 種間 差異가 있는 것은 種間 taxonomy에 電氣泳動의 導入이 可能하다는 것을 보여주고 있다.

問題는 모든 酵素가 모든 種의 分類에 모음이 되지 않는 것에 있다. 따라서 이러한 研究를 發展시킨다면 어떤 酵素를 어떠한 方法으로 어떻게 使用하는가에 따라 種間 明確한 區別이 되어지리라 생각된다. 또한 *T. harzianum*의 protein 및 esterase patterns에서 나타난 바와 같이 同一種內 個體間 差異가 많은 것은 形態的으로는 同一하나 遺傳的인 差異가 同一種內 상당히 存在하리라 推定되어 電氣泳動에 의한 種의 分類方法은 種內 遺傳學研究에 모움이 될 것이다. 種의 分類는 形態學的인 面도 可能하나 形態學的인 面을 補完하기 위하여 電氣泳動法을 補條의으로 使用할 때, 可能性은 더욱 큼 것이다.

## 摘要

1. 本研究는 *Trichoderma* 種間 形態的 分類와 電氣泳動法을 利用한 分類의 可能性에 관하여 研究하였다.

2. 電氣泳動法을 利用한 *Trichoderma*의 enzyme patterns에서 각 種의 特徵의 band를 갖고 있어 種의 分類에 可能性을 보였으며 個體間 band 形成에 差異가 있는 것은 遺傳學的 差異가 種內 存在하며 電氣泳動法은 種內 遺傳學研究에 도움이 되리라 看做된다.

3. *Trichoderma* spp.의 分類는 esterase, protein patterns으로 明確하게 6種間 區別되며 phosphotase, catalase patterns으로는 6種間 部分的 區別이 되었다.

## LITERATURE CITED

1. Abd-El-Moit, T.H., and M.N. Shatla. 1981. Biological control of white rot disease of onion (*Sclerotium cepivorum*) by *T. harzianum*. Phytopathol. Z. 100 : 29-35.
2. Baptist, J.N., C. R. Shaw, and M. Mandel. 1969. Zone electrophoresis of enzymes in bacterial taxonomy. J. Bacteriol. 99 : 180-188.
3. Clare, B.C., and G.A. Zentmyer. 1966. Starch gel electrophoresis of proteins from species of *Phytophthora*. Phytopathol. 56 : 1334-1335.
4. Davis, M.G., and I. Shimpkins. 1975. Electrophoretic techniques principles and techniques of

- practical biochemistry. Edited by B.L. Williams. and K. Willson, London 256p.
5. Franke, R.G., and J.A. Berry 1972. Taxonomic application of isozyme patterns produced with disc electrophoresis of some Myxomycetes, order Physarales. *Mycologia* 64 : 830-840.
  6. Glynn, A.N., and J. Reid. 1969. Electrophoretic patterns of soluble fungal proteins and their possible use as taxonomic criteria in the genus *Fusarium*. *Can. J. Botany* 47 : 1823-1831.
  7. Harman, G.E., I. Chet, and R. Baker. 1980. *T. hamatum* effects on seeds and seedling disease induced in radish and pea by *Pythium* spp. or *R. solani*. *Phytopathol.* 71 : 286-290.
  8. Hashiok, Y., M. Komatsu, and I. Arita. 1961. *T. viride*, as an antagonist of wood-inhibiting Hymenomycetes. 1. Ecology and physiology of *Trichoderma* occurring on the log-wood of *L. edodes* Sing. *Rept. Tottori Mycol. Ins. (Japan)* 1 : 1-18.
  9. Kahler, A.L., and R.W. Allard. 1970. Genetics of isozyme variants in barley. 1. Esterase. *Crop Sci.* 10 : 444-448.
  10. Kulik, M.M., and A.G. Brooks. 1970. Electrophoretic studies of soluble proteins from *Aspergillus* spp. *Mycologia* 62 : 365-376.
  11. Meyer, J.A., E.D. Garber, and S.G. Shaeffer. 1964. Genetics of phytopathogenic fungi. XII. Detection of esterase and phosphatase in culture filtrates of *Fusarium oxysporum* and *F. xylarioides* by starch gel zone electrophoresis. *Botaz. Gaz.* 125(4) : 298-300.
  12. Meyer, J.A., and J.L. Renard. 1969. Protein and esterase patterns of two formae species of *Fusarium oxysporum*. *Phytopathol.* 59 : 1409-1411.
  13. Nealson, K.H. and E.D. Garber. 1967. An Electrophoretic survey of esterase, phosphatase, and leucin aminopeptidase in mycelial extracts of species of *Aspergillus*. *Mycologia* 59 : 330-336.
  14. Park, W.M., and H. Stegmann. 1979. Rice protein patterns comparison by various Page-techniques in slabs. *Z. Acker. U. Pflanzenbauw.* 148 : 446-454.
  15. Perbedy, J.E., and M. Turner. 1968. The esterase of *Mortierella ramanniana* in relation to taxonomy. *J. Gen. Microbiol.* 51 : 303-312.
  16. Rifail, M.A. 1969. A revision of genus *Trichoderma*. *Mycol. papers* 116. Commonwealth Mycological Inst. Kew. Surrey, England. 56p.
  17. Son, E.R., W.M. Park, and J.I. Lee. 1981. Identification of Rape(*Brassica napus L.*) varieties by electrophoretic method. The memorial papers for the sixtieth birthday of Dr. Jeong Haeng Ree. 38-42.
  18. Steward, F.C., R.F. Lyndon, and J.T. Barber. 1965. Acrylamide gel electrophoresis of soluble plant proteins: A study on pea seedlings in relation to development. *Am. J. Bot.* 52(2) : 1409-1411.
  19. Stout, D.L., and C.R. Shaw. 1973. Comparative enzyme patterns in *Thamnidium elegans* and *T. anomalum*. *Mycologia* 65 : 803-808.